

Бирюк Герман Станиславович, студент 4го курса института радиотехнических систем и управления Южного федерального университета, г. Таганрог, РФ

Научный руководитель – Синявская Екатерина Дмитриевна, кандидат технических наук, ассистент кафедры систем автоматического управления Южного федерального университета, г. Таганрог, РФ

УДК 004.942

МЕТОДОЛОГИЧЕСКИЕ ОСНОВЫ ИСПОЛЬЗОВАНИЯ ГРАФИЧЕСКОГО ИНТЕРФЕЙСА LTI VIEWER ДЛЯ АНАЛИЗА УСТОЙЧИВОСТИ САУ РАБОТОЙ КАМЕРНОЙ ПЕЧИ

Скоробогатова И.В.

DOI: 10.12737/15103

Аннотация. Проанализирована устойчивость САУ работой камерной печи путем использования встроенного в *Simulink* графического интерфейса *LTI Viewer*. Получены графики частотных характеристик, по которым определены запасы устойчивости по фазе и амплитуде.

Ключевые слова: модель, частотные характеристики, запас устойчивости.

Уравнения состояния динамических объектов записываются дифференциальными уравнениями в форме Коши. В теории управления для исследования автоматизированных объектов, таких, например, как камерная печь для нагрева слитков, применяется операторный метод. Библиотека блочно-ориентированного языка *Simulink* в среде *MATLAB* позволяет представить составляющие системы управления в виде передаточных функций.

Так как оценка устойчивости указывает на возможность управления объектом, поэтому с нее начинается исследование любой САУ. Из известных критериев устойчивости (алгебраических – Рауса, Гурвица, Льенара-Шипара; частотных – Найквиста, Михайлова и т.д. [1]) средствами инструмента *Simulink LTI Viewer* устойчивость САУ можно определить по диаграммам Боде, и Найквиста, графику Никольса, и по расположению корней характеристического

уравнения САУ. Для построения ЛАЧХ, ЛФЧХ или АФЧХ средствами *Simulink LTI Viewer*, устанавливаются точки входа и выхода (*Linear analysis points*), нажав правой клавишей мыши на соединительной линии между задатчиком и исполнительным механизмом (*input perturbation*), и осциллографом и блоком модели внешнего теплообмена (*output measurement*), как показано на рисунке 1 (для примера показана разработанная САУ работой камерной печи (КП)).

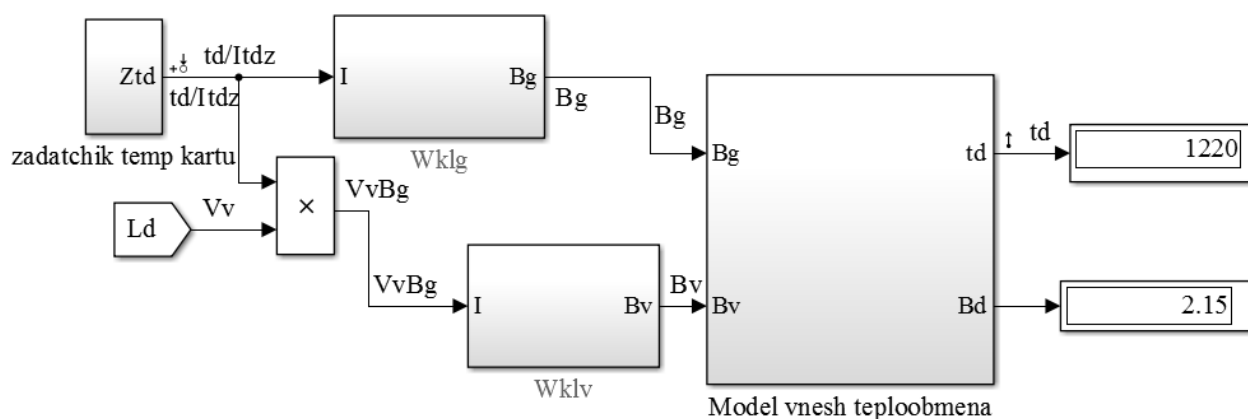


Рисунок 1 – Разомкнутая САУ работой камерной печи

Для вызова графического интерфейса *LTI Viewer* выполняется команда меню *Tools > Linear analysis* (например, *MATLAB 2008*) или *Analysis > Control Design > Linear analysis* (*MATLAB 2014*). В зависимости от частотного критерия устойчивости выбирается тип графика (*Plot type*): логарифмические амплитудная и фазовая характеристики (*Bode Diagram*), амплитудно-фазовая частотная характеристика (*Nyquist Diagram*), график Никольса (*Nichols chart*). Линеаризация модели осуществляется в окне *LTI Viewer* выполнением команды меню *Simulink > Get Linearized Model* (*MATLAB 2008*) или *Linearize* (*MATLAB 2014*).

В соответствии с частотным критерием Найквиста для того, чтобы замкнутая САУ была устойчива, необходимо и достаточно, чтобы частота, при которой ЛАЧХ пересекает ось абсцисс (частота среза ω_c), была меньше частоты, при которой ЛФЧХ переходит за критическое значение « -180^0 » (частота сдвига фаз ω_{-180^0}), т.е. $\omega_c < \omega_{-180^0}$ (при $\omega_c > \omega_{-180^0}$ – система неустойчивая; при $\omega_c = \omega_{-180^0}$ – система находится на границе устойчивости).

Анализ рисунка 2 показывает, что САУ работой камерной печи

устойчивая, так как частота среза $\omega_c = 4,01$ рад/с пересекает ось абсцисс раньше частоты фазового сдвига ω_{-180° , которая уходит в бесконечность ∞ , не переходя за значение « -180° ».

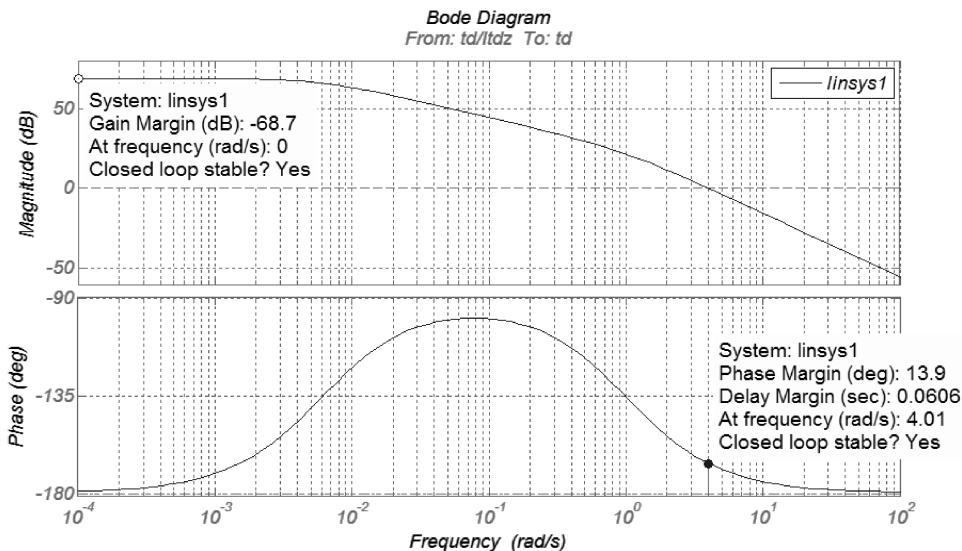


Рисунок 2 – ЛАЧХ И ЛФЧХ разомкнутой САУ работой КП

Из диаграммы Найквиста (рис. 3) и графика Никольса (рис. 4) следует, что рассматриваемая замкнутая система будет устойчива, так как АФЧХ разомкнутой САУ не охватывает точку $(-1: j0)$, в которой модуль $A(\omega) = 1$ и аргумент вектора $\varphi(\omega) = -180^\circ$ при изменении частоты от 0 до ∞ [2].

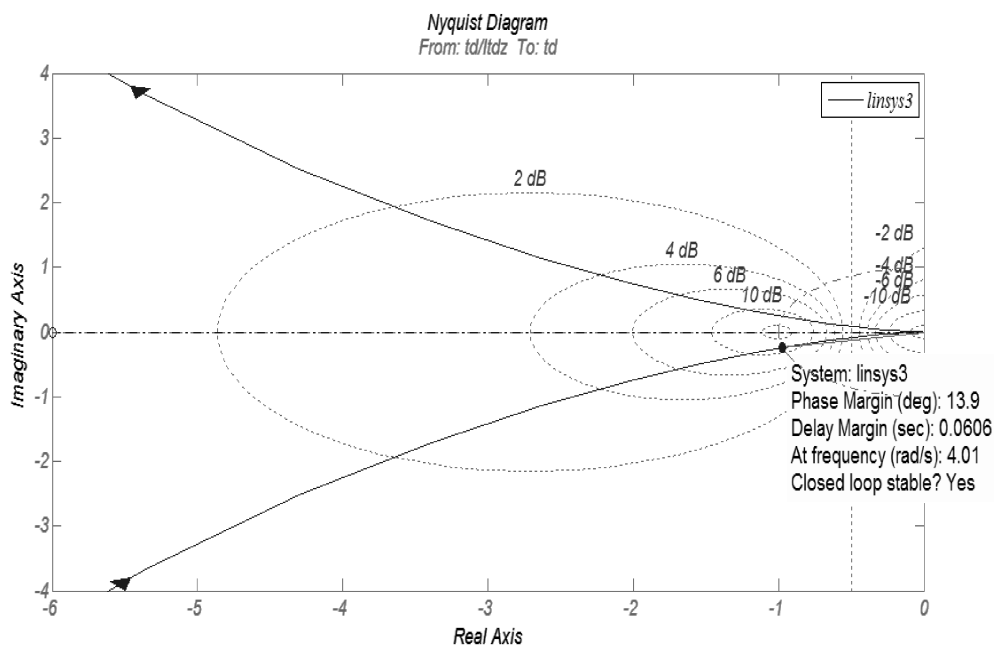


Рисунок 3 – АФЧХ разомкнутой САУ работой КП

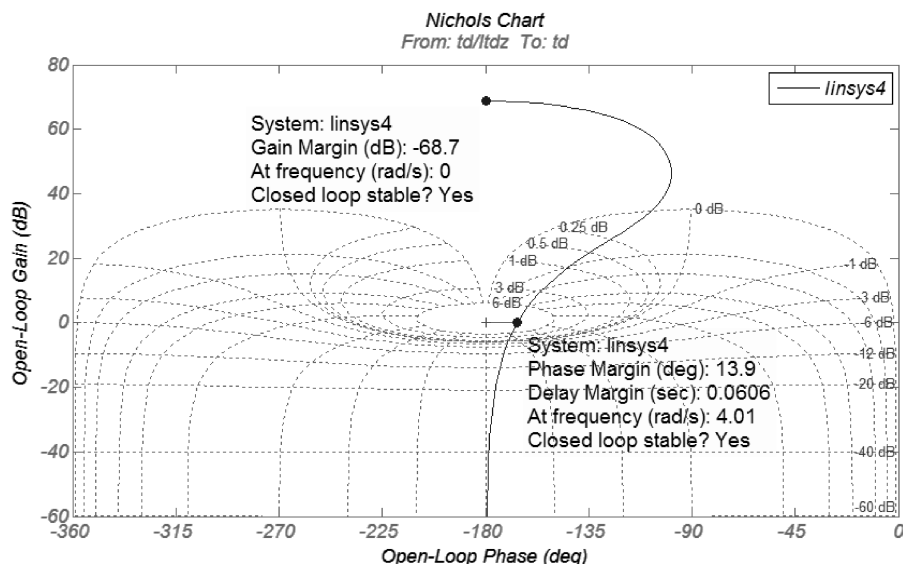


Рисунок 4 – График Никольса

Для определения численных запасов устойчивости по амплитуде и фазе при частоте в соответствующих точках ЛАЧХ и ЛФЧХ выбирается пункт контекстного меню *Characteristics > Stability Margins (Min)*:

- *gain margin at frequency* = -68,7 дБ – запас устойчивости по амплитуде;
- *phase margin at frequency* = 13,9° – запас устойчивости по фазе;
- *delay margin at frequency* = 0,0606 с – запас по запаздыванию;
- *Closed-loop stable? Yes* (Да) – замкнутая система устойчива.

Следует отметить: отрицательный запас по амплитуде указывает на то, что «потери» устойчивости уменьшаются за счет уменьшения коэффициента усиления.

Список литературы

1. Никулин Е.А. Основы теории автоматического управления. Частотные методы анализа синтеза систем. / Е.А. Никулин – Санкт-Петербург.: Высшая школа, 1972. – 464 с.
2. Майзель М.М. Автоматика, телемеханика и системы управления производственными процессами / М.М.Майзель – М.: Высшая школа, 1972. – 464 с.

Скоробогатова Инна Валерьевна, кандидат технических наук, доцент кафедры «Горная электротехника и автоматика им. Р.М. Лейбова» Донецкого национального технического университета, г. Донецк, ДНР, Украина